



Laboratorium Badań Środowiskowych  
ul. Józefa Piusa Dziekońskiego 3  
00-728 Warszawa  
e-mail: [Laboratorium@networks.pl](mailto:Laboratorium@networks.pl)



AB 419

S P R A W O Z D A N I E 10713/2023/OS  
Z POMIARÓW PÓL ELEKTROMAGNETYCZNYCH  
WYKONANYCH DLA POTRZEB OCHRONY ŚRODOWISKA

Badany obiekt: Instalacja radiokomunikacyjna T-Mobile Polska S.A.

Numer i nazwa: 26139 (86408N!) WLU\_LUBLIN\_GESIA5

Adres: LUBLIN, GĘSIA 5, Powiat m. Lublin, WOJ. LUBELSKIE

Data wykonania pomiarów: 2023-12-06

Sprawozdanie z badań bez pisemnej zgody laboratorium nie może być powielane inaczej niż w całości.  
Wynik przedstawione w niniejszym sprawozdaniu odnoszą się wyłącznie do badanego obiektu i do warunków i konfiguracji urządzeń w dniu wykonywania pomiarów.

**1. Właściciel badanego obiektu:**

T-Mobile Polska S.A., ul. Marynarska 12, 02-674 Warszawa

**2. Zleceniodawca:**

T-Mobile Polska S.A., ul. Marynarska 12, 02-674 Warszawa

**3. Przedstawiciel zleceniodawcy:**

NetWorkS! Sp.z o.o.

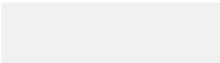
**4. Zakres zlecenia:**

Wykonanie badania i opracowanie sprawozdania z pomiarów natężenia pola elektrycznego i pola magnetycznego dla instalacji radiokomunikacyjnej T-Mobile Polska S.A. zlokalizowanej w miejscowości LUBLIN, GĘSIA 5.

**5. Cel zlecenia:**

Wykonanie pomiarów pól elektromagnetycznych w otoczeniu instalacji radiokomunikacyjnej 26139 (86408N!) WLU\_LUBLIN\_GESIA5 w odniesieniu do wymagań określonych w *Rozporządzeniu Ministra Klimatu z dnia 17 lutego 2020 r. w sprawie sposobów sprawdzania dotrzymania dopuszczalnych poziomów pól elektromagnetycznych w środowisku (Dz.U. 2022 poz. 2630)*.

**6. Pomiary zostały wykonane przez:**



**7. Informacje o źródłach pól elektromagnetycznych**

**7.1. Sposób identyfikacji badanych źródeł pól elektromagnetycznych**

Identyfikacji źródeł i parametrów technicznych dokonano na podstawie analizy dokumentacji dotyczącej zlecenia oraz obserwacji miejsca wykonywania badań.

**7.2. Opis miejsca zainstalowania anten i urządzeń technicznych. Opis obiektu badań i jego otoczenia**

Instalacja radiokomunikacyjna zlokalizowana jest na dachu. Anteny zawieszono na masztach usytuowanych na dachu budynku. Urządzenia sterujące oraz zasilające zainstalowano w szafie outdoor na dachu budynku. Wokół instalacji znajduje się miasto.

Instalacja radiokomunikacyjna jest obiektem bezobsługowym. Okresowe stanowiska pracy związane są z prowadzonymi w zależności od potrzeb konserwacjami, przeglądami, strojeniem i naprawami.

Sprawozdanie z badań bez pisemnej zgody laboratorium nie może być powielane inaczej niż w całości.  
Wynik przedstawione w niniejszym sprawozdaniu odnoszą się wyłącznie do badanego obiektu i do warunków i konfiguracji urządzeń w dniu wykonywania pomiarów.

### 7.3. Parametry techniczne źródła pola elektromagnetycznego

Dane przedstawiające maksymalne parametry pracy instalacji przekazane przez zleceniodawcę:

Parametry systemu nadawczo-odbiorczego:

Charakterystyka promieniowania		kierunkowa					
Rzeczywisty czas pracy [h/dobę]		24					
Warunki pracy		znamionowe					
Rodzaj wytwarzanego pola		stacjonarne					
Lp.	Częstotliwość lub zakresy częstotliwości pracy [MHz]	Typ/producent anteny	liczba anten	Azymut [°]	kąt pochylenia* [°]	Wysokość środka elektrycznego anteny [m n.p.t.]	Równoważna moc promieniowana izotropowo (EIRP) [W]
1	900/1800/2100	ATR4518R13v06 Huawei	1	100	1/2.5/2.5	19.2	18020
2	800/2600	ATR4518R13v06 Huawei	1	100	4/2	19.2	7170
3	900/1800/2100	AQU4518R14v06 Huawei	1	220	2/2/2	19.2	17015
4	800/2600	ATR4518R13v06 Huawei	1	220	4/1	19.2	7170
5	900/1800/2100	AQU4518R14v06 Huawei	1	340	2/2/2	19.2	17015
6	800/2600	ATR4518R13v06 Huawei	1	340	3/1.5	19.2	7170

\* wskazane wartości kąta pochylenia anten, zgodnie z informacją uzyskaną od zleceniodawcy, są wartościami stałymi

Transmisja realizowana drogą kablową

### 7.4 Inne źródła pól elektromagnetycznych

Na podstawie informacji otrzymanych od użytkownika oraz obserwacji otoczenia miejsca wykonywania pomiarów stwierdzono występowanie innych źródeł pola-EM, pracujących w systemie: telefonii komórkowej (800MHz-2600MHz), linii radiowych (5GHz – 90GHz), które istotnie wpływają na wyniki pomiarów.

## 8. Opis pomiarów

### 8.1. Metoda badań

Zgodna z rozporządzeniem Ministra Klimatu z dnia 17 lutego 2020 r. w sprawie sposobów sprawdzania dotrzymania dopuszczalnych poziomów pól elektromagnetycznych w środowisku (Dz.U. 2022 poz. 2630), określona w pkt 25 ppkt 1 załącznika do niniejszego rozporządzenia.

### 8.2. Termin pomiarów i warunki środowiskowe

Podczas wykonywania pomiarów pól elektromagnetycznych nie występowały opady atmosferyczne. Wyniki pomiaru parametrów pogodowych przedstawia poniższa tabela:

Data [rrrr-mm-dd]	Godzina [hh:mm-hh:mm]	Warunki środowiskowe			
		Temperatura [°C]		Wilgotność względna [%]	
2023-12-06	09:35-10:45	Przed pomiarem	Po pomiarach	Przed pomiarem	Po pomiarach
		0.4	0.6	68.7	68.2

Przedstawione wyżej warunki środowiskowe, występujące podczas wykonywania pomiarów pól elektromagnetycznych, są zgodne ze specyfikacją techniczną użytego zestawu pomiarowego.

### 8.3. Warunki pracy urządzeń nadawczych

Podczas pomiarów w przypadku uzyskania wyniku pomiaru szerokopasmowego wykonanego zastosowaną metodą, dla zakresów częstotliwości od 10 MHz do 300 GHz, powiększonego o rozszerzoną niepewność pomiaru U dla współczynnika rozszerzenia  $k = 2$  przekraczającego 70% najniższej dopuszczalnej wartości składowej elektrycznej lub magnetycznej pola dla objętych pomiarami zakresów częstotliwości, uwzględnia się poprawki pomiarowe przekazane przez zleceniodawcę, umożliwiające uwzględnienie maksymalnych parametrów pracy instalacji zgodnie z pkt 7 załącznika do Rozporządzeniem Ministra Klimatu z dnia 17 lutego 2020 r. w

Sprawozdanie z badań bez pisemnej zgody laboratorium nie może być powielane inaczej niż w całości.  
Wynik przedstawione w niniejszym sprawozdaniu odnoszą się wyłącznie do badanego obiektu i do warunków i konfiguracji urządzeń w dniu wykonywania pomiarów.

sprawie sposobów sprawdzania dotrzymania dopuszczalnych poziomów pól elektromagnetycznych w środowisku (Dz. U. 2022, poz. 2630) zaznaczając, że wymagane jest wykonanie pomiaru z wykorzystaniem miernika selektywnego. W przypadku uzyskania wyniku pomiaru szerokopasmowego wykonanego zastosowaną metodą, dla zakresów częstotliwości od 10 MHz do 300 GHz, powiększonego o rozszerzoną niepewność pomiaru U dla współczynnika rozszerzenia  $k = 2$  nieprzekraczającego 70% najniższej dopuszczalnej wartości składowej elektrycznej lub magnetycznej pola dla objętych pomiarami zakresów częstotliwości, nie uwzględnia się poprawek pomiarowych.

#### 8.4. Wyposażenie pomiarowe

Zestaw pomiarowy służący do pomiaru natężenia składowej elektrycznej pola elektromagnetycznego złożony z szerokopasmowego miernika i sondy pomiarowej:

Oznaczenie miernika	Producent	Model	Numer fabryczny	Oznaczenie sondy	Producent	Model	Numer fabryczny
M-19	Narda Safety Test Solution	Miernik pól elektromagnetycznych NBM-550	H-0129	S-19	Narda Safety Test Solution	Sonda EF909 1	A-0057

Mierniki natężenia pola elektromagnetycznego podlegają okresowemu sprawdzeniu zgodnie z procedurą wewnętrzną P-03 i PB-01. Świadczenie wzorcowania zestawu pomiarowego z dnia 22 maja 2023 o numerze LWiMP/W/175/23 wydane przez Politechnikę Wrocławską.

Data ważności świadectwa wzorcowania: 22 maja 2025 (zgodnie z procedurą wewnętrzną P-03).

Termohigrometr:

Oznaczenie:	TH-22	Producent:	AZ INSTRUMENT CORP	Model:	Termohigrometr AZ8706
-------------	-------	------------	--------------------	--------	-----------------------

Data ważności świadectwa wzorcowania: 17 grudnia 2023 (zgodnie z procedurą wewnętrzną P-03).

Dalmierz:

Oznaczenie	Producent	Typ	Numer seryjny	Nr świadectwa wzorcowania	Data świadectwa wzorcowania
D-11	Leica	Dalmierz Leica Disto D510	1042957453	4609.22-M11-4180-1748/14	9 stycznia 2015

Data ważności świadectwa wzorcowania: 9 stycznia 2025 (zgodnie z procedurą wewnętrzną P-03).

Odbiornik GNSS:

Oznaczenie	Producent	Model	Numer fabryczny
G-01	Stonex	S7-G GIS	S7G4083040009

Odbiorniki podlegają okresowemu sprawdzeniu zgodnie z procedurą wewnętrzną P-03.

## 9. Wyniki pomiarów

### Pole elektryczne

Nr pionu	Opis umiejscowienia pionu (punktu) pomiarowego	Wysokość pomiaru [m]	Zmierzona wartość natężenia pola elektrycznego E [V/m] <sup>1,5</sup>	Wartość natężenia pola elektrycznego powiększona o niepewność pomiaru <sup>4</sup> E [V/m]	Wskaźnikowa wartość poziomu emisji pól elektromagnetycznych $WM_E^3$	Współrzędne geograficzne pionu (punktu) pomiarowego <sup>2</sup>
1	DPP - budynek z instalacją, 3 piętro, klatka schodowa, płaszczyzna okna	0.3-2.0	<1.0*	1.5	0.05	51°13'42.2" 22°28'50.9"
2	DPP - budynek z instalacją, firma ASMOS Solutions, piętro 3/3, płaszczyzna okna	0.3-2.0	<1.0*	1.5	0.05	51°13'41.9" 22°28'49.8"

Sprawozdanie z badań bez pisemnej zgody laboratorium nie może być powielane inaczej niż w całości.

Wynik przedstawione w niniejszym sprawozdaniu odnoszą się wyłącznie do badanego obiektu i do warunków i konfiguracji urządzeń w dniu wykonywania pomiarów.

3	DPP - budynek z instalacją, firma ASMOS Solutions, piętro 3/3, płaszczyzna okna	0.3-2.0	<1.0*	1.5	0.05	51°13'41.9" 22°28'49.4"
4	DPP - budynek z instalacją, pomieszczenie biurowe, piętro 3/3, płaszczyzna okna - okno uchylone	2.0	2.2	3.3	0.12	51°13'40.4" 22°28'49.1"
5	DPP - budynek z instalacją, pomieszczenie biurowe, piętro 3/3, płaszczyzna okna - okno zamknięte	2.0	1.6	2.4	0.09	51°13'40.4" 22°28'50.2"
6	DPP - budynek z instalacją, klatka schodowa, piętro 3/3, okno zamknięte	0.3-2.0	<1.0*	1.5	0.05	51°13'40.8" 22°28'49.4"
7	PKP na az. 71° w odległości 32m od anteny sektorowej az. 100°	2.0	2.1	3.1	0.11	51°13'40.8" 22°28'51.6"
8	PKP na az. 254° w odległości 24m od anteny sektorowej az. 220°	2.0	2.5	3.7	0.13	51°13'40.1" 22°28'48.0"
9	PKP na az. 359° w odległości 38m od anteny sektorowej az. 340°	2.0	2.9	4.3	0.15	51°13'43.3" 22°28'49.4"
10	GKP w odległości 11m od anteny sektorowej az. 100°	2.0	<b>3.5</b>	5.2	0.19	51°13'40.4" 22°28'50.9"
11	GKP w odległości 38m od anteny sektorowej az. 100°	2.0	2.8	4.2	0.15	51°13'40.1" 22°28'52.0"
12	GKP w odległości 175m od anteny sektorowej az. 100°	0.3-2.0	<1.0*	1.5	0.05	51°13'39.4" 22°28'59.2"
13	GKP w odległości 187m od anteny sektorowej az. 100°	0.3-2.0	<1.0*	1.5	0.05	51°13'39.4" 22°28'59.5"
14	GKP w odległości 9m od anteny sektorowej az. 220°	2.0	3.2	4.8	0.17	51°13'40.1" 22°28'49.1"
15	GKP w odległości 28m od anteny sektorowej az. 220°	2.0	2.4	3.6	0.13	51°13'39.7" 22°28'48.4"
16	GKP w odległości 54m od anteny sektorowej az. 220°	2.0	1.9	2.8	0.1	51°13'39.0" 22°28'47.6"
17	GKP w odległości 87m od anteny sektorowej az. 220°	2.0	1.8	2.7	0.1	51°13'38.3" 22°28'46.6"
18	GKP w odległości 100m od anteny sektorowej az. 220°	2.0	1.5	2.2	0.08	51°13'37.9" 22°28'46.2"
19	GKP w odległości 172m od anteny sektorowej az. 220°	0.3-2.0	<1.0*	1.5	0.05	51°13'36.1" 22°28'43.7"
20	GKP w odległości 191m od anteny sektorowej az. 220°	0.3-2.0	<1.0*	1.5	0.05	51°13'35.8" 22°28'43.0"
21	GKP w odległości 10m od anteny sektorowej az. 340°	2.0	3.4	5.1	0.18	51°13'42.2" 22°28'49.4"
22	GKP w odległości 27m od anteny sektorowej az. 340°	2.0	2.7	4	0.14	51°13'43.0" 22°28'49.1"
23	GKP w odległości 44m od anteny sektorowej az. 340°	2.0	2.1	3.1	0.11	51°13'43.3" 22°28'48.7"
24	GKP w odległości 62m od anteny sektorowej az. 340°	2.0	1.8	2.7	0.1	51°13'44.0" 22°28'48.4"

Sprawozdanie z badań bez pisemnej zgody laboratorium nie może być powielane inaczej niż w całości.  
Wynik przedstawione w niniejszym sprawozdaniu odnoszą się wyłącznie do badanego obiektu i do warunków i konfiguracji urządzeń w dniu wykonywania pomiarów.

25	GKP w odległości 71m od anteny sektorowej az. 340°	2.0	1.9	2.8	0.1	51°13'44.0" 22°28'48.4"
26	GKP w odległości 158m od anteny sektorowej az. 340°	0.3-2.0	<1.0*	1.5	0.05	51°13'46.9" 22°28'46.9"
27	GKP w odległości 205m od anteny sektorowej az. 340°	0.3-2.0	<1.0*	1.5	0.05	51°13'48.4" 22°28'45.8"
28	DPP wewnątrz sklepu Decathlon	0.3-2.0	<1.0*	1.5	0.05	51°13'45.1" 22°28'48.7"
29	DPP wewnątrz sklepu Agata Meble przy drzwiach wejściowych	0.3-2.0	<1.0*	1.5	0.05	51°13'40.4" 22°28'54.8"

Pole magnetyczne (wyznaczone na podstawie pomiaru wartości natężenia pola elektrycznego)

Nr pionu	Opis umiejscowienia pionu (punktu pomiarowego)	Wysokość pomiaru [m]	Wartość natężenia pola magnetycznego H [A/m] <sup>1</sup>	Wartość natężenia pola magnetycznego powiększona o niepewność pomiaru <sup>4</sup> H [A/m]	Wskaźnikowa wartość poziomu emisji pól elektromagnetycznych WM <sub>H</sub> <sup>3</sup>	Współrzędne geograficzne pionu (punktu pomiarowego) <sup>2</sup>
1	DPP - budynek z instalacją, 3 piętro, klatka schodowa, płaszczyzna okna	0.3-2.0	<0.003*	0.004	0.05	51°13'42.2" 22°28'50.9"
2	DPP - budynek z instalacją, firma ASMOS Solutions, piętro 3/3, płaszczyzna okna	0.3-2.0	<0.003*	0.004	0.05	51°13'41.9" 22°28'49.8"
3	DPP - budynek z instalacją, firma ASMOS Solutions, piętro 3/3, płaszczyzna okna	0.3-2.0	<0.003*	0.004	0.05	51°13'41.9" 22°28'49.4"
4	DPP - budynek z instalacją, pomieszczenie biurowe, piętro 3/3, płaszczyzna okna - okno uchylone	2.0	0.006	0.009	0.12	51°13'40.4" 22°28'49.1"
5	DPP - budynek z instalacją, pomieszczenie biurowe, piętro 3/3, płaszczyzna okna - okno zamknięte	2.0	0.004	0.006	0.09	51°13'40.4" 22°28'50.2"
6	DPP - budynek z instalacją, klatka schodowa, piętro 3/3, okno zamknięte	0.3-2.0	<0.003*	0.004	0.05	51°13'40.8" 22°28'49.4"
7	PKP na az. 71° w odległości 32m od anteny sektorowej az. 100°	2.0	0.006	0.008	0.11	51°13'40.8" 22°28'51.6"
8	PKP na az. 254° w odległości 24m od anteny sektorowej az. 220°	2.0	0.007	0.01	0.14	51°13'40.1" 22°28'48.0"
9	PKP na az. 359° w odległości 38m od anteny sektorowej az. 340°	2.0	0.008	0.012	0.16	51°13'43.3" 22°28'49.4"
10	GKP w odległości 11m od anteny sektorowej az. 100°	2.0	<b>0.009</b>	0.014	0.19	51°13'40.4" 22°28'50.9"
11	GKP w odległości 38m od anteny sektorowej az. 100°	2.0	0.007	0.011	0.15	51°13'40.1" 22°28'52.0"
12	GKP w odległości 175m od anteny sektorowej az. 100°	0.3-2.0	<0.003*	0.004	0.05	51°13'39.4" 22°28'59.2"

Sprawozdanie z badań bez pisemnej zgody laboratorium nie może być powielane inaczej niż w całości.  
Wynik przedstawione w niniejszym sprawozdaniu odnoszą się wyłącznie do badanego obiektu i do warunków i konfiguracji urządzeń w dniu wykonywania pomiarów.

13	GKP w odległości 187m od anteny sektorowej az. 100°	0.3-2.0	<0.003*	0.004	0.05	51°13'39.4" 22°28'59.5"
14	GKP w odległości 9m od anteny sektorowej az. 220°	2.0	0.008	0.013	0.17	51°13'40.1" 22°28'49.1"
15	GKP w odległości 28m od anteny sektorowej az. 220°	2.0	0.006	0.01	0.13	51°13'39.7" 22°28'48.4"
16	GKP w odległości 54m od anteny sektorowej az. 220°	2.0	0.005	0.008	0.1	51°13'39.0" 22°28'47.6"
17	GKP w odległości 87m od anteny sektorowej az. 220°	2.0	0.005	0.007	0.1	51°13'38.3" 22°28'46.6"
18	GKP w odległości 100m od anteny sektorowej az. 220°	2.0	0.004	0.006	0.08	51°13'37.9" 22°28'46.2"
19	GKP w odległości 172m od anteny sektorowej az. 220°	0.3-2.0	<0.003*	0.004	0.05	51°13'36.1" 22°28'43.7"
20	GKP w odległości 191m od anteny sektorowej az. 220°	0.3-2.0	<0.003*	0.004	0.05	51°13'35.8" 22°28'43.0"
21	GKP w odległości 10m od anteny sektorowej az. 340°	2.0	0.009	0.013	0.18	51°13'42.2" 22°28'49.4"
22	GKP w odległości 27m od anteny sektorowej az. 340°	2.0	0.007	0.011	0.15	51°13'43.0" 22°28'49.1"
23	GKP w odległości 44m od anteny sektorowej az. 340°	2.0	0.006	0.008	0.11	51°13'43.3" 22°28'48.7"
24	GKP w odległości 62m od anteny sektorowej az. 340°	2.0	0.005	0.007	0.1	51°13'44.0" 22°28'48.4"
25	GKP w odległości 71m od anteny sektorowej az. 340°	2.0	0.005	0.008	0.1	51°13'44.0" 22°28'48.4"
26	GKP w odległości 158m od anteny sektorowej az. 340°	0.3-2.0	<0.003*	0.004	0.05	51°13'46.9" 22°28'46.9"
27	GKP w odległości 205m od anteny sektorowej az. 340°	0.3-2.0	<0.003*	0.004	0.05	51°13'48.4" 22°28'45.8"
28	DPP wewnątrz sklepu Decathlon	0.3-2.0	<0.003*	0.004	0.05	51°13'45.1" 22°28'48.7"
29	DPP wewnątrz sklepu Agata Meble przy drzwiach wejściowych	0.3-2.0	<0.003*	0.004	0.05	51°13'40.4" 22°28'54.8"

GKP – Główny Kierunek Pomiarowy

DPP – Dodatkowy Pion Pomiarowy

PKP – Pomocniczy Kierunek Pomiarowy

<sup>1</sup> wyniki oznaczone \* są wynikami poniżej czułości zestawu pomiarowego i są wynikami spoza zakresu akredytacji. Do obliczenia wyniku skorygowanego przyjęto wartość skorelowaną z rzeczywistym wynikiem pomiaru - dolną granicę akredytowanego zakresu pomiarowego metody

<sup>2</sup> współrzędne geograficzne pozyskane metodą pomiaru bezpośredniego

<sup>3</sup> do wyznaczenia wartości wskaźnikowej  $W_{ME}$  i  $W_{MH}$  przyjęto na podstawie uzgodnień z klientem oraz rozpoznania źródeł, jako wartości dopuszczalne pola elektrycznego i magnetycznego odpowiednio 28 V/m i 0,073 A/m.

<sup>4</sup> do wyznaczenia niepewności dla wyników poniżej czułości zestawu pomiarowego, przyjęto niepewność dla minimalnej wartości z zakresu pomiarowego.

<sup>5</sup> maksymalna wartość chwilowa

Niepewność oszacowano zgodnie z dokumentem P-03 „Procedura nadzoru nad wyposażeniem” w postaci niepewności rozszerzonej wynikającej z niepewności standardowej pomnożonej przez współczynnik rozszerzenia  $k=2$ .

Całkowita szacowana niepewność rozszerzona składowej E wynosi odpowiednio: 49.6% dla częstotliwości do 40 GHz

Umiejscowienie pionów (punktów) pomiarowych przedstawiono w załączniku nr 2 do niniejszego sprawozdania.

Sprawozdanie z badań bez pisemnej zgody laboratorium nie może być powielane inaczej niż w całości.  
Wynik przedstawione w niniejszym sprawozdaniu odnoszą się wyłącznie do badanego obiektu i do warunków i konfiguracji urządzeń w dniu wykonywania pomiarów.

## 10. Omówienie wyników pomiarów

W związku z tym, że żadna z wartości zmierzonych, udokumentowanych w tabelach w pkt. 9, uzyskanych w skutek zastosowania pomiaru szerokopasmowego, powiększonego o rozszerzoną niepewność pomiaru  $U$  dla współczynnika rozszerzenia  $k = 2$  nie przekroczyła 70% najniższej dopuszczalnej wartości składowej elektrycznej lub magnetycznej pola dla objętych pomiarami zakresów częstotliwości, nie uwzględnia się poprawek pomiarowych.

W wyniku zastosowania sposobu sprawdzenia dotrzymania dopuszczalnych poziomów pól elektromagnetycznych w środowisku, zgodnie pkt 25 ppkt 1 Rozporządzenia Ministra Klimatu z dnia 17 lutego 2020 r. (Dz. U. 2022, poz. 2630), w związku z tym, że żadna z wartości wskaźnikowych, udokumentowanych w tabelach w pkt. 9 nie przekracza wartości 1, stwierdza się, że w miejscach, w których wykonano pomiary w otoczeniu instalacji radiokomunikacyjnej 26139 (86408N!) WLU\_LUBLIN\_GESIA5, dopuszczalne poziomy pole elektromagnetycznych w środowisku należy uznać za dotrzymane.

## 11. Podstawa prawna

- 1) Ustawa z dnia 27 kwietnia 2001 r. Prawo ochrony środowiska (Dz.U. 2022 poz. 2556)
- 2) Rozporządzenie Ministra Zdrowia z dnia 17 grudnia 2019 r. w sprawie dopuszczalnych poziomów pól elektromagnetycznych w środowisku (Dz. U. 2019, poz. 2448)
- 3) Rozporządzenie Ministra Klimatu z dnia 17 lutego 2020 r. w sprawie sposobów sprawdzania dotrzymania dopuszczalnych poziomów pól elektromagnetycznych w środowisku (Dz. U. 2022, poz. 2630),
- 4) Akredytacja nr AB 419 wydana przez Polskie Centrum Akredytacji (wydanie 21, z dnia 11 kwietnia 2023 r.)

## 12. Spis załączników

- Załącznik 1. Lokalizacja obiektu badań
- Załącznik 2. Usytuowanie pionów (punktów) pomiarowych
- Załącznik 3. Dokumentacja fotograficzna obiektu badań

## 13. Data wydania i autoryzowania sprawozdania

Obliczenia i sprawozdanie wykonał :



Signed by /  
Podpisano przez:

Date / Data: 2023-  
12-18 09:46

Sprawozdanie autoryzował:

Flektronicznie

12:06:35 +01'00'

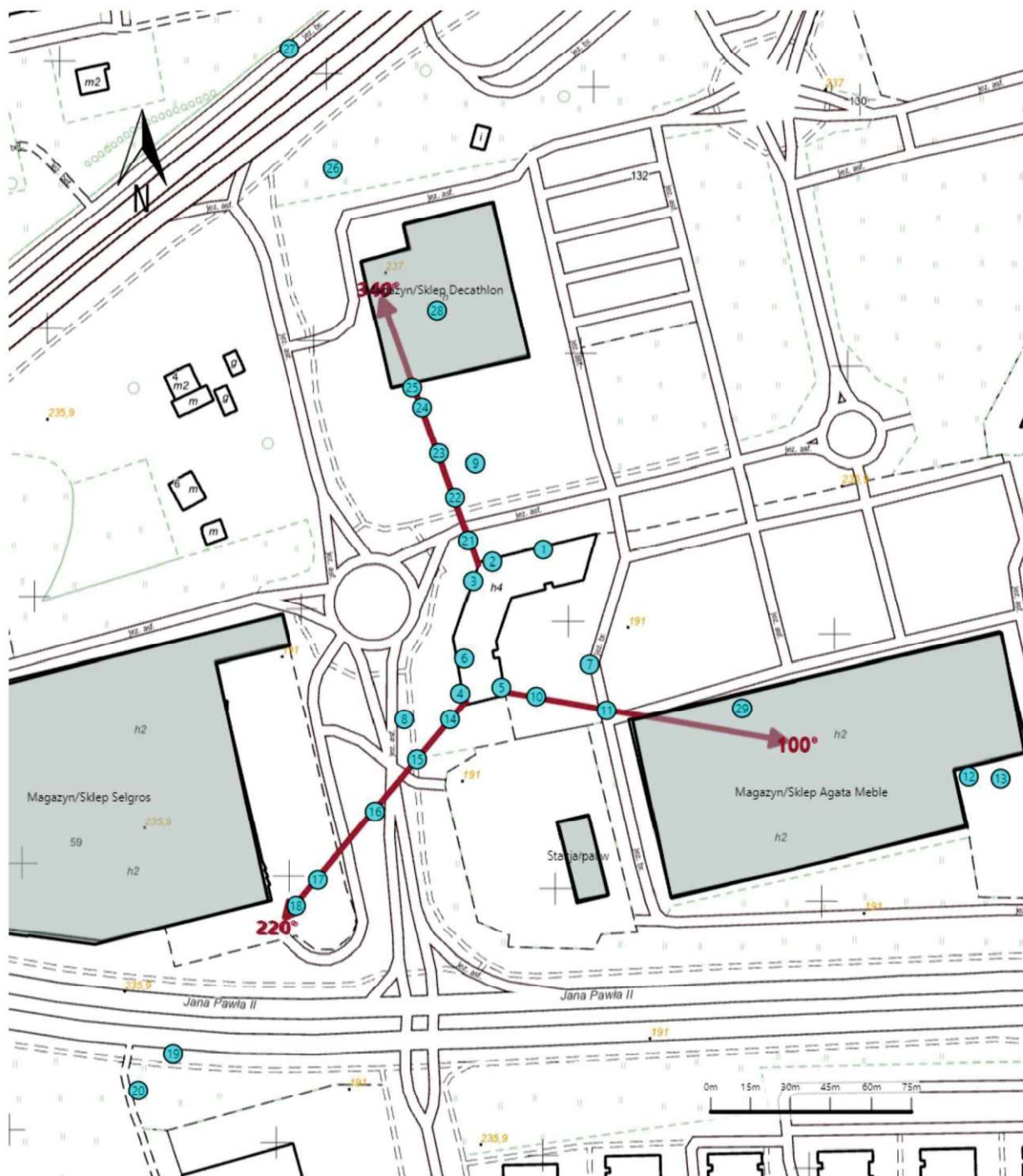
**Koniec sprawozdania**





Sprawozdanie z badań bez pisemnej zgody laboratorium nie może być powielane inaczej niż w całości.  
Wynik przedstawione w niniejszym sprawozdaniu odnoszą się wyłącznie do badanego obiektu i do warunków i konfiguracji urządzeń w dniu wykonywania pomiarów.





Załącznik nr 1	<p>Instalacja radiokomunikacyjna T-Mobile Polska S.A. 26139 (86408N!) WLU_LUBLIN_GESIA5</p> <p>Lokalizacja instalacji radiokomunikacyjnej</p>
----------------	---



Załącznik nr 2	<p style="text-align: center;"><b>Instalacja radiokomunikacyjna T-Mobile Polska S.A.</b>  <b>WLU_LUBLIN_GESIA5 (86408N!)</b>                  Usytuowanie pionów pomiarowych w otoczeniu instalacji radiokomunikacyjnej</p>
	<p>Legenda:</p> <div style="display: flex; justify-content: space-around; align-items: center;"> <div style="text-align: center;">                   Brak dostępu             </div> <div style="text-align: center;">                   Pion pomiarowy             </div> <div style="text-align: center;">                   Kierunek oddziaływania anten sektorowych             </div> <div style="text-align: center;">                   Kierunek oddziaływania anten radioliniowych             </div> </div>



Załącznik nr 3	<p>Instalacja radiokomunikacyjna T-Mobile Polska S.A. 26139 (86408N!) WLU_LUBLIN_GESIA5</p> <p>Dokumentacja fotograficzna</p>
----------------	---